

Experimentalphysik II (SS 2023/2024)

Übung 11

Tutorium: 2

Abgabe: 30.06.2023

Aufgabe 1: Magnetfeldberechnung

[siehe hinten]

Aufgabe 2: Induktionsstrombremse

$$\begin{aligned} U_{ind} &= -\frac{d\phi}{dt} \\ &= -B \frac{dA}{dt} \\ &= -Bdv \\ I_{ind} &= \frac{U_{ind}}{R} \\ &= -\frac{Bdv}{R} \end{aligned}$$

$$\begin{aligned} 0 &= \Delta W_{pot} + \Delta W_{kin} + \Delta W_{el} \\ 0 &= mgx + \frac{m}{2}v^2 + \int I_{ind}U_{ind} dt \\ 0 &= mgx + \frac{m}{2}v^2 + \frac{B^2d^2}{R} \int v^2 dt \\ 0 &= mgv + mva + \frac{B^2d^2}{R}v^2 \\ a &= -g - \frac{B^2d^2}{mR}v \\ F_{ges} &= \underbrace{-mg}_{F_g} + \underbrace{\frac{-B^2d^2}{R}v}_{F_{el}} \end{aligned}$$

$$\begin{aligned} v_{max} &\implies a = 0 \\ 0 &= -g - \frac{B^2d^2}{mR}v_{max} \\ v_{max} &= -g \frac{mR}{B^2d^2} \\ &\approx -9.81 \frac{\text{m}}{\text{s}^2} \frac{45 \text{ g} \cdot 4 \Omega}{13^2 \text{ T}^2 \cdot 15^2 \text{ cm}^2} \\ &\approx 0.464 \frac{\text{m}}{\text{s}^2} \end{aligned}$$

Aufgabe 3: Ausschaltvorgang an einer Spule

$$\begin{aligned}0 &= U_R + U_{ind} \\0 &= IR + L\dot{I} \\0 &= \dot{I} + \frac{R}{L}I \\I(t) &= c \cdot e^{-\frac{R}{L}t} \\&= I_0 \cdot e^{-\frac{R}{L}t}\end{aligned}$$

Wobei I_0 der Strom ist, der vor Entfernen der Spannungsquelle geflossen ist.

Aufgabe 4: Dynamo

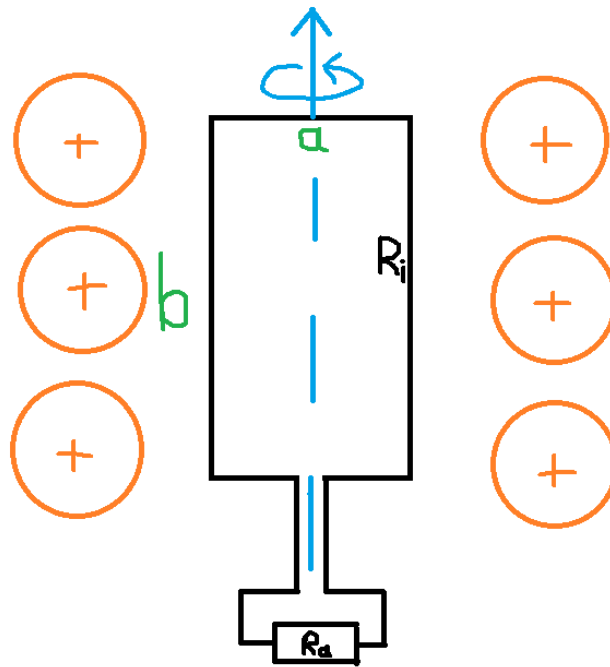


Figure 1: Versuchsaufbau

$$\begin{aligned}U_{ind} &= -N \frac{d\phi}{dt} \\&= -NB \frac{dA}{dt} \\&= -NB \frac{d}{dt} (ab \cos \varphi) \\&= -NB \frac{d}{dt} (ab \cos(\omega t)) \\&= NabB\omega \sin(\omega t) \\I_{ind} &= \frac{NabB\omega}{R_i + R_a} \sin(\omega t)\end{aligned}$$

$$\begin{aligned}
P_{mech} &= P_{el} \\
M\omega &= \frac{U_{ind}^2}{R_{ges}} \\
&= \frac{N^2 a^2 b^2 B^2 \omega^2 \sin^2(\omega t)}{R_i + R_a} \\
M &= \frac{N^2 a^2 b^2 B^2 \omega}{R_i + R_a} \sin^2(\omega t) \\
&\approx 250^2 \cdot 5^2 \text{ cm}^2 \cdot 3^2 \text{ cm}^2 \cdot 0.5^2 \text{ T}^2 \frac{\omega}{R_i + R_a} \sin^2(\omega t) \\
&\approx 3.52 \cdot 10^{-2} \text{ V s m}^2 \frac{\omega}{R_i + R_a} \sin^2(\omega t) \\
\vec{M} &= \frac{N^2 a^2 b^2 B^2 \omega}{R_i + R_a} \sin^2(\omega t) \vec{e}_\omega
\end{aligned}$$

Aufgabe 5: Nichtperiodische Fourierzerlegung

$$U(t) = \begin{cases} 0 \text{ V} & \text{für } t < 0 \text{ s} \\ U_0 & \text{für } 0 \text{ s} \leq t \leq t_0 \\ 0 \text{ V} & \text{für } t_0 < t \end{cases}$$

(a)

$$\begin{aligned}
F(U(t); \omega) &= \int_{-\infty}^{\infty} U(t) \cdot e^{-i\omega t} dt \\
&= U_0 \int_0^{t_0} e^{-i\omega t} dt \\
&= -\frac{U_0}{i\omega} e^{-i\omega t} \Big|_0^{t_0} \\
&= \frac{U_0}{i\omega} (1 - e^{-i\omega t_0}) \\
&= \frac{iU_0}{\omega} (e^{-i\omega t_0} - 1) \\
&= \frac{iU_0}{\omega} (\cos(\omega t_0) - i \sin(\omega t_0) - 1) \\
\Re(F(U(t); \omega)) &= \frac{U_0}{\omega} \sin(\omega t_0) \quad [= 2\pi \cdot a(\omega)] \\
\Im(F(U(t); \omega)) &= \frac{U_0}{\omega} (\cos(\omega t_0) - 1) \quad [= 2\pi \cdot b(\omega)]
\end{aligned}$$

(b)

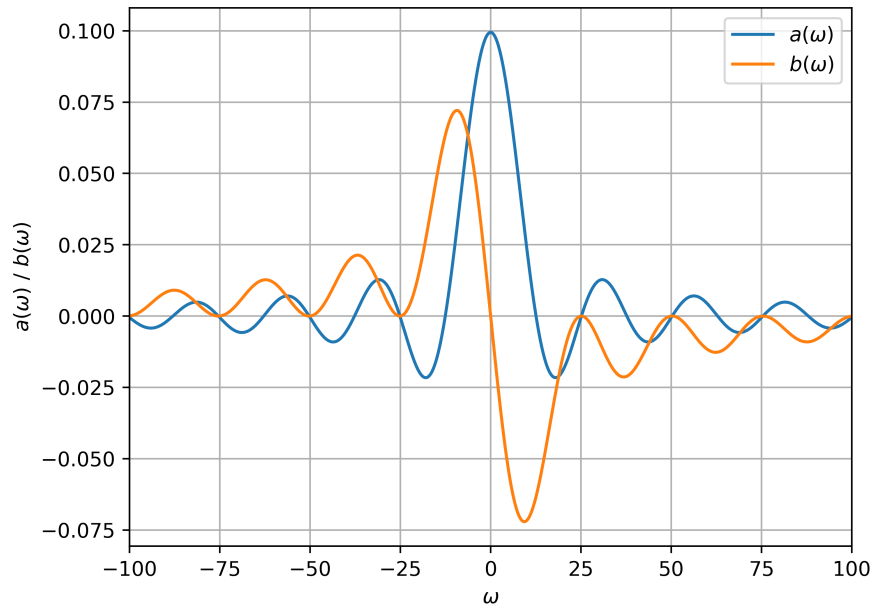


Figure 2: Plot von $a(\omega)$ und $b(\omega)$

(c)

$$\begin{aligned}
 U(t) &= \int_{-\infty}^{\infty} (\cos(\omega t)a(\omega) + \sin(\omega t)b(\omega)) \, d\omega \\
 U(t) &= \frac{U_0}{2\pi} \int_{-\infty}^{\infty} \frac{\cos(\omega t) \sin(\omega t_0)}{\omega} \, d\omega + \frac{U_0}{2\pi} \int_{-\infty}^{\infty} \frac{\sin(\omega t)(\cos(\omega t_0) - 1)}{\omega} \, d\omega \\
 \int_{-\infty}^{\infty} \frac{\cos(\omega t) \sin(\omega t_0)}{\omega} \, d\omega &\stackrel{(1)}{=} \frac{1}{2}\pi(\operatorname{sgn}(t_0 - t) + \operatorname{sgn}(t_0 + t)) \\
 \int_{-\infty}^{\infty} \frac{\sin(\omega t)(\cos(\omega t_0) - 1)}{\omega} \, d\omega &\stackrel{(2)}{=} -\frac{1}{2}\pi(\operatorname{sgn}(t_0 - t) - \operatorname{sgn}(t_0 + t) + 2\operatorname{sgn}(t)) \\
 U(t) &= \frac{U_0}{2\pi} \cdot \pi(\operatorname{sgn}(t_0 - t) + \operatorname{sgn}(t)) \\
 &= \frac{U_0}{2}(\operatorname{sgn}(t_0 - t) + \operatorname{sgn}(t)) \\
 &= \begin{cases} 0 \, \text{V} & \text{für } t < 0 \, \text{s} \\ U_0 & \text{für } 0 \, \text{s} \leq t \leq t_0 \\ 0 \, \text{V} & \text{für } t_0 < t \end{cases}
 \end{aligned}$$

(1) : Integral mit Wolfram Alpha, nachdem wir es zwei Stunden lang erfolglos selbst versucht haben

(2) : "

Aufgabe 1: Magnetfeldberechnung

(a/b)

June 27, 2023

1 Jupyter-Notebook zur Experimentalphysik II, SS 2023

von Dr. Markus Merschmeyer, III. Physikalisches Institut A, RWTH Aachen University

1.1 Übungsaufgabe: Magnetfeldberechnung (numerisch)

```
[1]: import numpy as np          # numpy-Paket importieren
      from math import *
      %matplotlib inline
      import matplotlib.pyplot as plt # Paket zur Diagrammerstellung
      import scipy.constants as scc   # Naturkonstanten aus "scipy"
```

```
[2]: mu0 = scc.mu_0 # magnetische Feldkonstante in N A^-2
      print("magn. Feldkonstante: ",mu0,"N A^-2")

      # sonstige Parameter
      R = 0.03      # Radius der Leiterschleife in m
      print("Radius Leiterschleife:",R,"m")
      tmin = 0.0    # Startwert Kurvenparameter
      tmax = 1.0    # Endwert Kurvenparameter
      print("Kurvenparameter:      ",tmin,"bis",tmax)
```

magn. Feldkonstante: 1.25663706212e-06 N A⁻²

Radius Leiterschleife: 0.03 m

Kurvenparameter: 0.0 bis 1.0

Die Leiterschleife soll durch die Funktion

$$\vec{s}(t) = \begin{pmatrix} R \cdot \cos(2\pi t) \\ -R \cdot \sin(2\pi t) \\ 0 \end{pmatrix}, \quad 0 \leq t < 1$$

beschrieben werden. Dabei ist R der Radius der Schleife und t ein Kurvenparameter zur Beschreibung des Weges entlang der Schleife.

```
[3]: def v_loop(R=0.03, t=0.0):
      return R * np.array([np.cos(2*np.pi*t), # x-Koordinate in m,
                           -np.sin(2*np.pi*t), # y-Koordinate in m,
                           0]) # z-Koordinate in m
```

Funktion zur numerischen Berechnung des Magnetfeldes einer Leiterschleife nach Biot-Savart:

```
[4]: def biot_savart(R=0.03, t_min=0.0, t_max=1.0, n_step=10, I=10.0, x=0.0, y=0.0, z=0.1):
    v_B = np.array([x, y, z]) # Ortsvektor fuer die Feldberechnung
    # initialisieren
    v_Btot = np.array([0.,0.,0.]) # initialisiere den Summenvektor des B-Feldes
    d_t = (t_max-t_min) / n_step # Schrittlänge entlang einer Spulenwindung berechnen

    # berechne Liste mit den Vektor-Wegelementen d\vec{s} entlang der Spule
    v_ds = np.array([v_loop(R, t) - v_loop(R, t+d_t) for t in np.arange(t_min, t_max, d_t)])

    # berechne Liste mit Abstandsvektoren vom jeweiligen Ort (v_loop()) auf der Spule zum Ort (v_B),
    # an dem das B-Feld bestimmt werden soll: \vec{r} = v_B - v_loop()
    v_r = np.array([v_B - v_loop(R, t) for t in np.arange(t_min, t_max, d_t)])

    # berechne Liste der Kreuzprodukte \vec{r} \times d\vec{s}
    crossp = np.cross(v_ds, v_r)
    scalar = mu0 / (4*np.pi) * I * np.sum(v_r**2,axis=1)**(-3/2)
    dB = np.array([scalar[i] * crossp[i] for i in range(n_step)])

    # bilde Summe ueber alle Vektoren -> Vektor des B-Felds am Ort \vec{r}
    v_Btot = np.sum(dB, axis=0)

    return v_Btot

biot_savart()
```

```
[4]: array([ 4.23516474e-22, -9.52912066e-22,  4.64859219e-06])
```

Die Funktion zur analytischen Berechnung des Magnetfeldes einer Leiterschleife entlang der z-Achse lautet (Kap. 4.2.3, Gleichung 27):

$$B_z(z) = \frac{\mu_0}{2} \cdot I \cdot \frac{R^2}{\sqrt{z^2 + R^2}^3}$$

```
[5]: def Bz_LS(R=0.03, I=10.0, z=0.05):
    return mu0/2 * I * R**2 / (z**2 + R**2)**(3/2)
```

Vergleich von analytischer und numerischer Berechnung des Bz-Feldes als Funktion des z-Abstands:

```
[6]: fig, ax = plt.subplots(2,2)
fig.set_dpi(1000)
fig.set_figheight(10)
```

```

fig.set_figwidth(14)
ax = ax.flat
z = np.linspace(0,0.2,100)
for n in range(4):
    B = np.array([Bz_LS(z=i) for i in z])
    B_num = np.array([biot_savart(z=i,n_step=10*2**n)[2] for i in z])

    #ax[n].title(f"Numerisches vs. analytisches Biot-Savart-Gesetz\n Maximaler_
    ↪relativer Fehler = {max(B_num/B) - 1:.3f}")
    ax[n].plot(z,B,label="$B(z)$ - analytisch")
    ax[n].plot(z,B_num,label=f"$B(z)$ - numerisch $(n_{{step}})={n}$")
    ax[n].set_xlabel("$z$ in Metern")
    ax[n].set_ylabel("$B(z)$ in Tesla")
    ax[n].set_xlim(0,0.2)
    ax[n].set_ylim(bottom=0)
    ax[n].legend()
fig.tight_layout()
plt.show()

```

